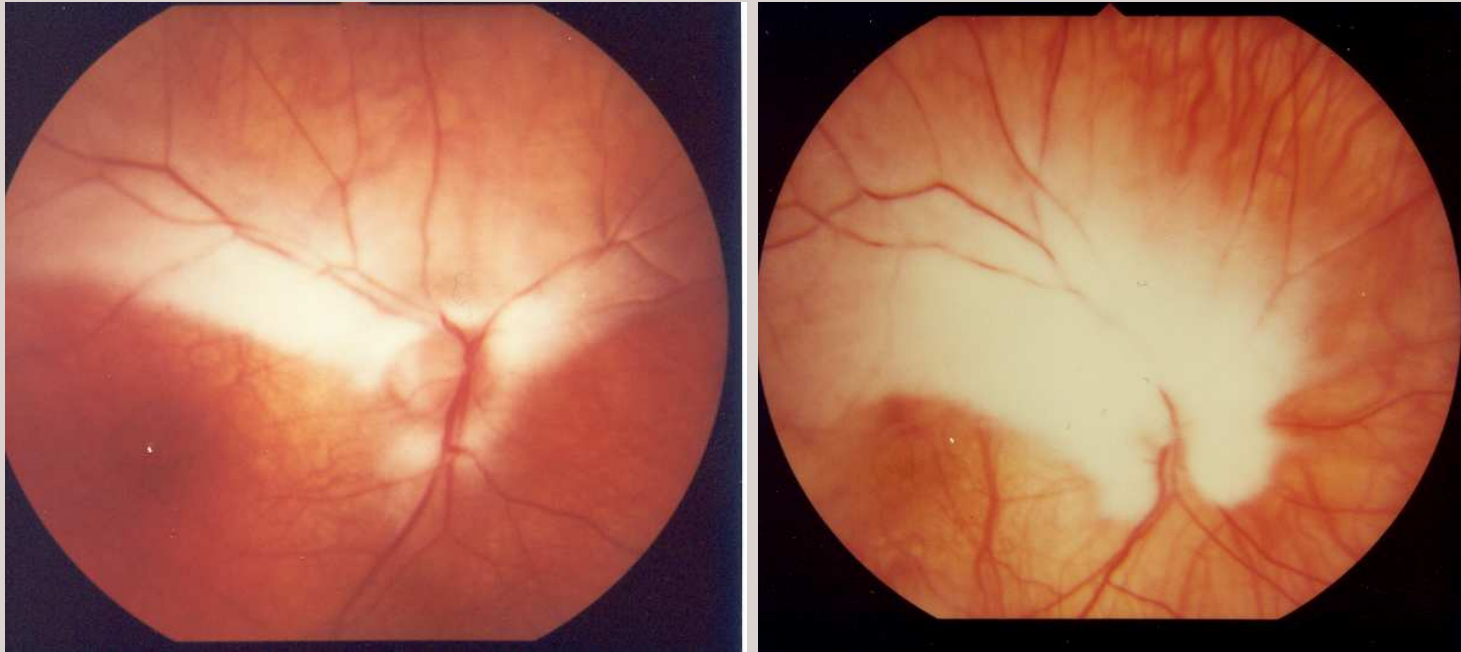
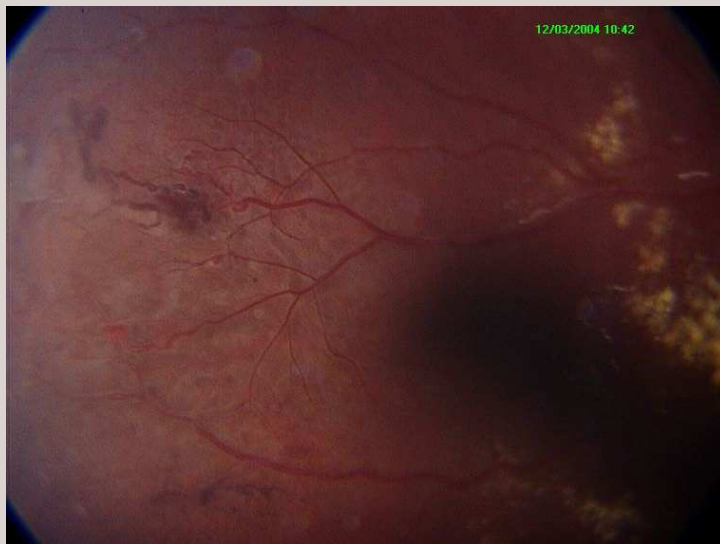
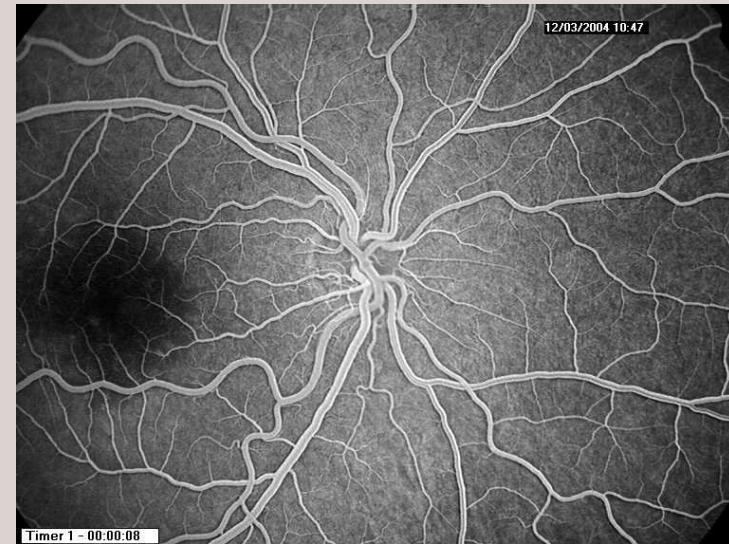
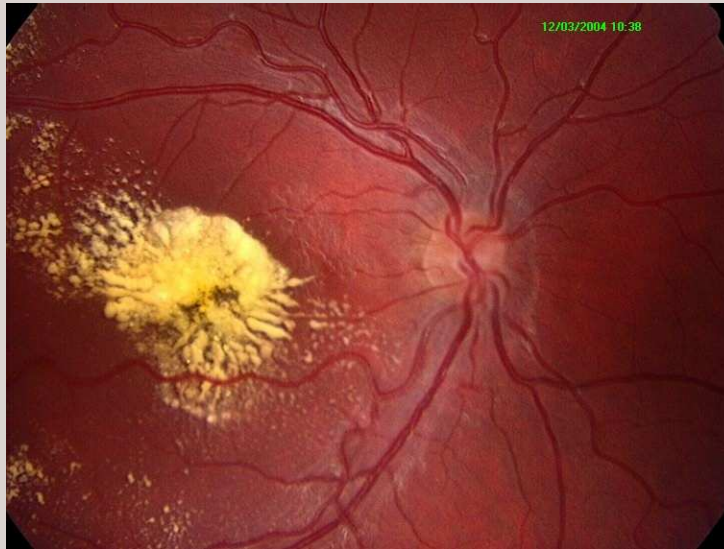


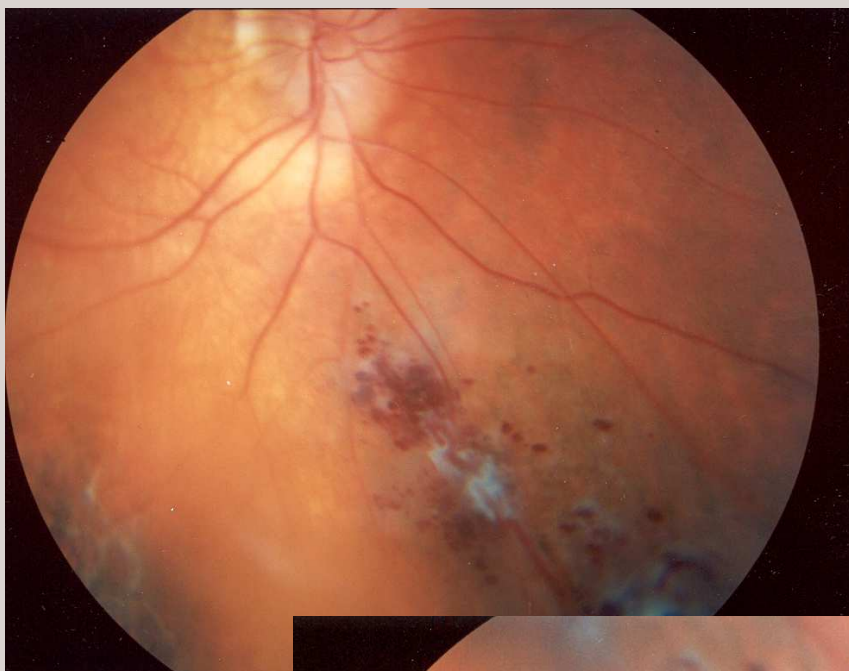
Obr. 3.1. Perzistence hyperplastického primárního sklivce. Klinický obraz (A) a korespondující nález při ultrazvukovém vyšetření (B)



Obr. 3.2. Perzistence myelinových pochev nervových vláken sítnice- Fibrae medullares



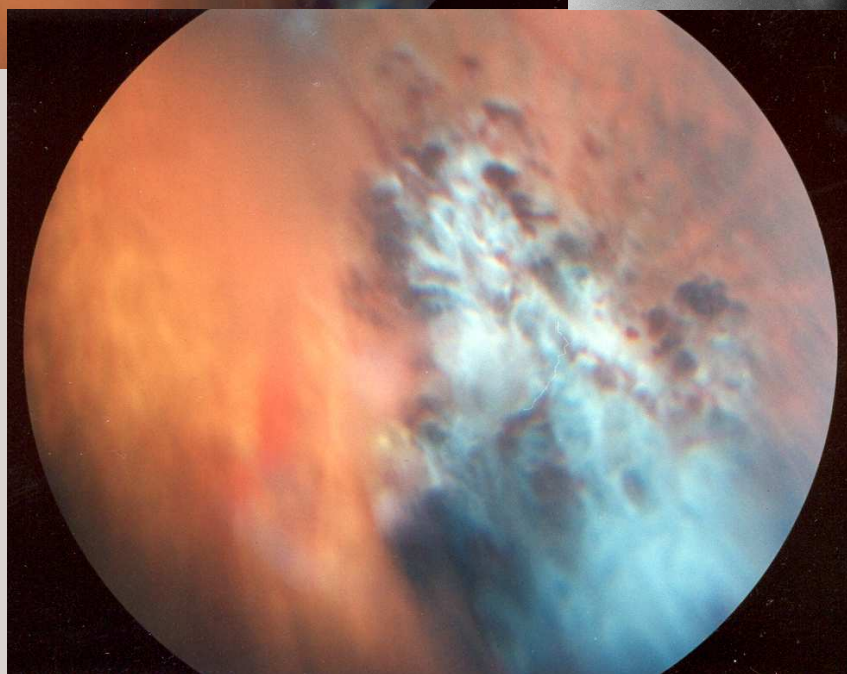
Obr. 3.3.1. Coatsova choroba u 7-letého chlapce, oftalmoskopický obraz (A) a typické změny při FAG vyšetření (B) u počínajícího stadia choroby.



A



B



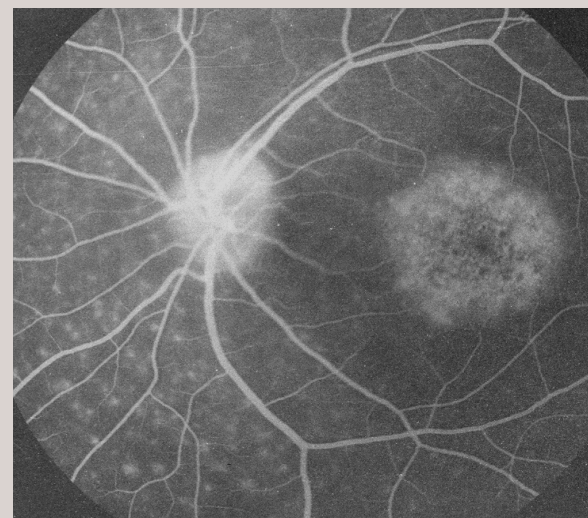
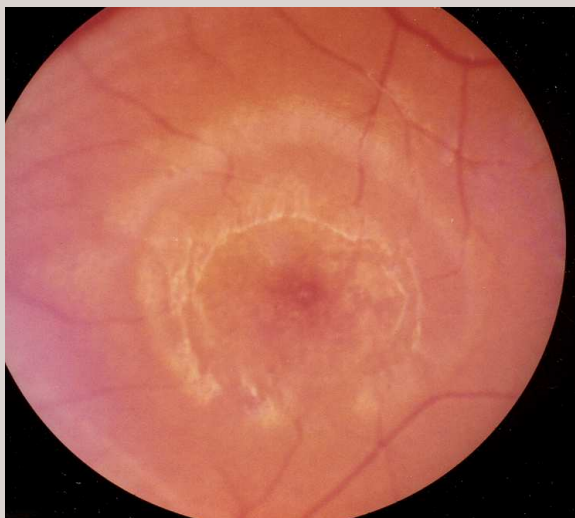
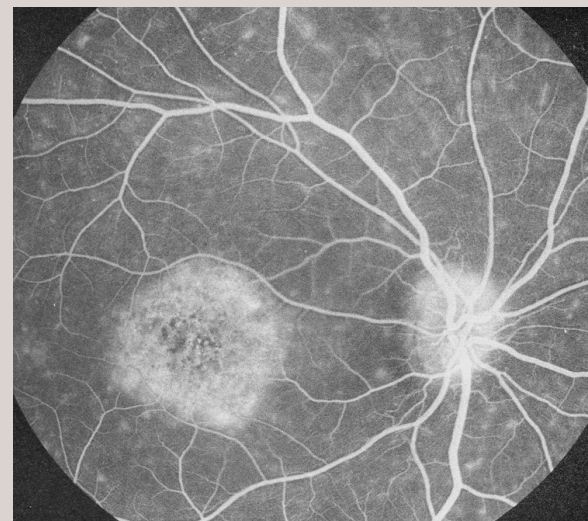
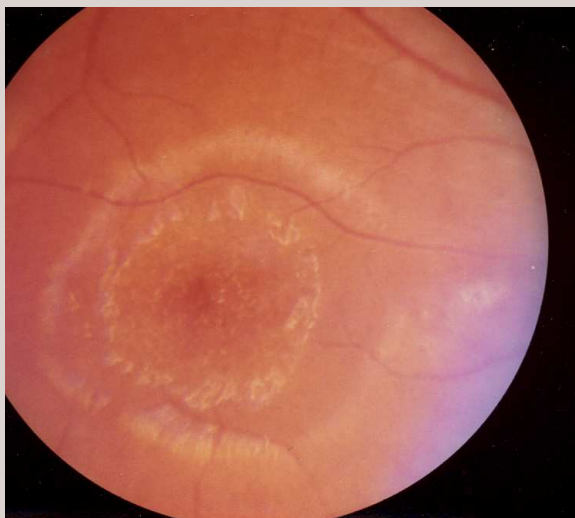
Obr. 3.3.2. Coatsova choroba u 12-letého chlapce, oftalmoskopický obraz (A) a změny při FAG vyšetření (B) u pokročilejšího stadia choroby.



Obr. 3.4. X-vázaná recesivní retinoschíza



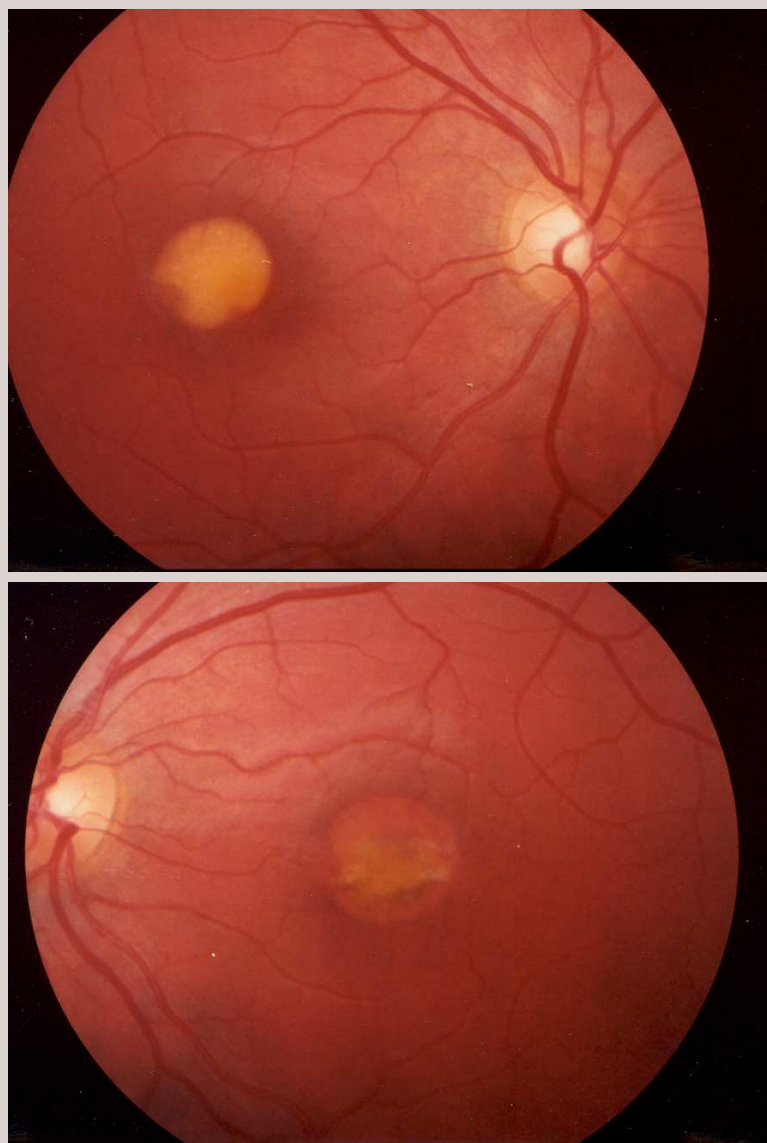
Obr. 3.5. Sticklerův syndrom (nález u 11-letého chlapce)



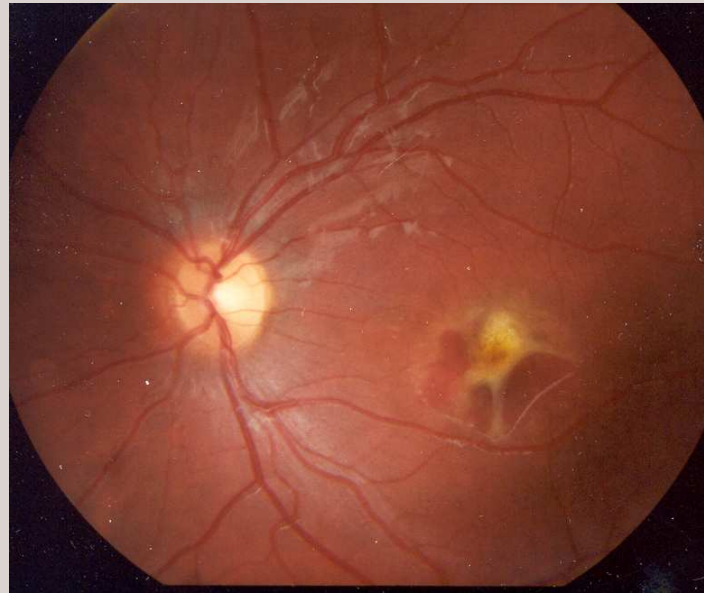
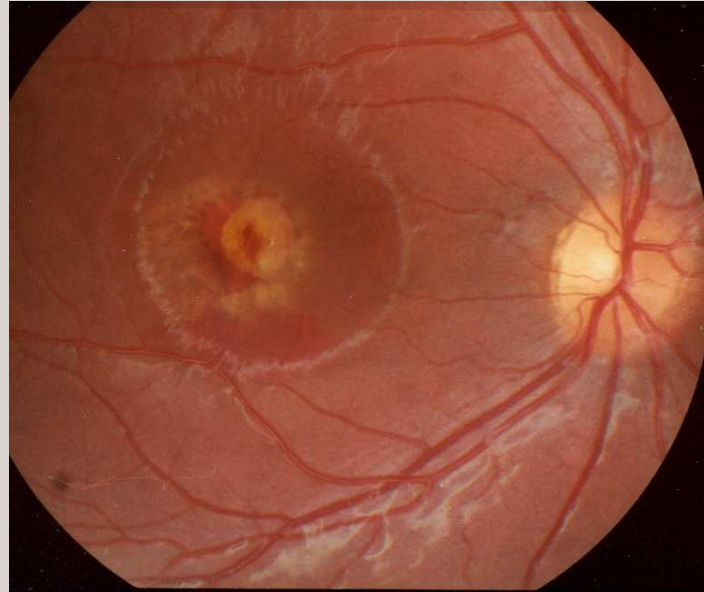
A

B

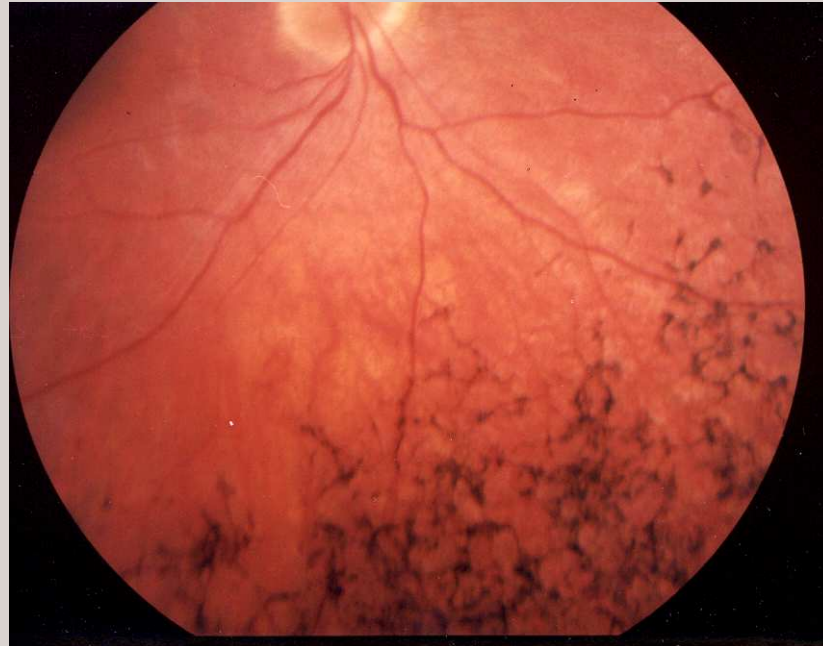
Obr. 3.6. Stargardtova choroba - oftalmoskopický obraz makuly (A) a typický nález při FAG vyšetření (B); (8-letá dívka)



Obr. 3.7. Bestova vitelliformní makulární degenerace, asymetrický oftalmoskopický obraz na obou očích u 9-leté dívky



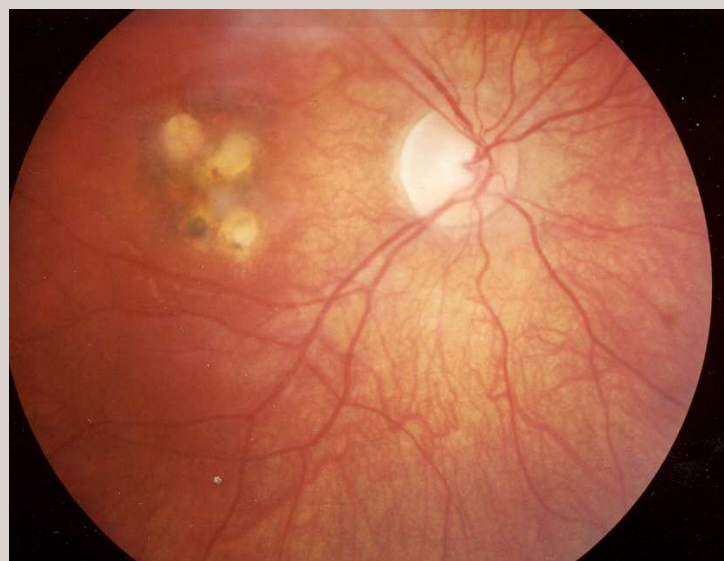
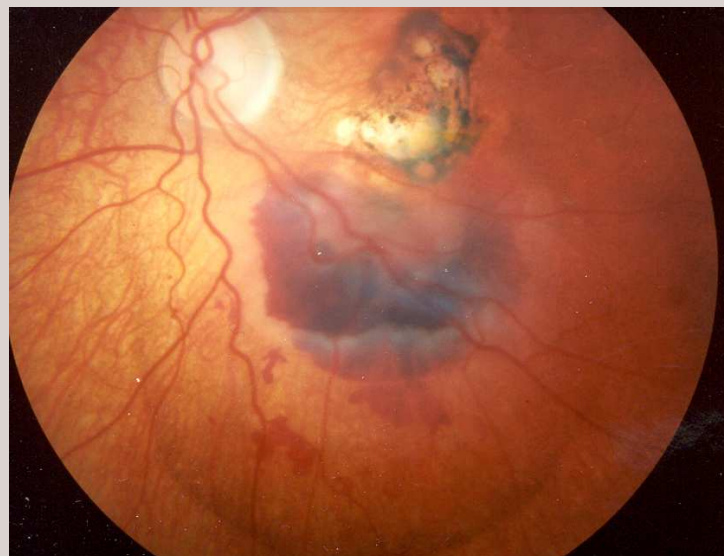
Obr. 3.8. Pseudozánětlivá Sorsbyho makulární degenerace (8-letý chlapec)



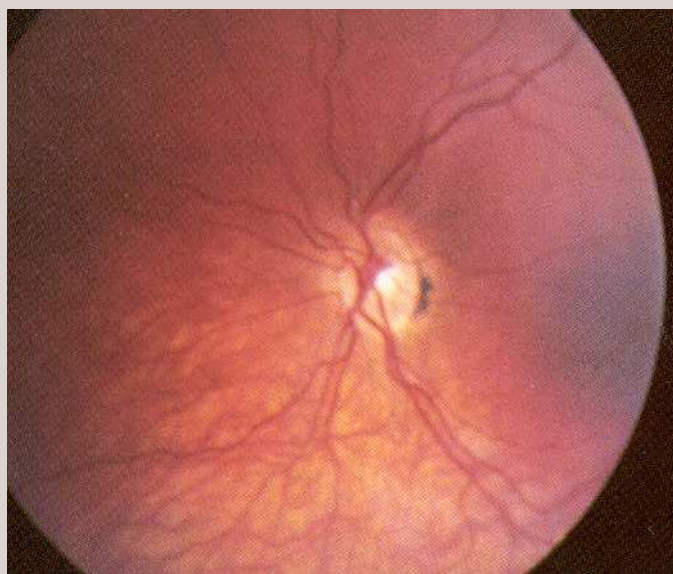
Obr. 3.9. Degeneratio retinae pigmentosa - klasický obraz pigmentací ve tvaru kostních buněk, koncentrické zúžení zorného pole na 10 st. , centrální vizus 6/6 (12-letý chlapec)



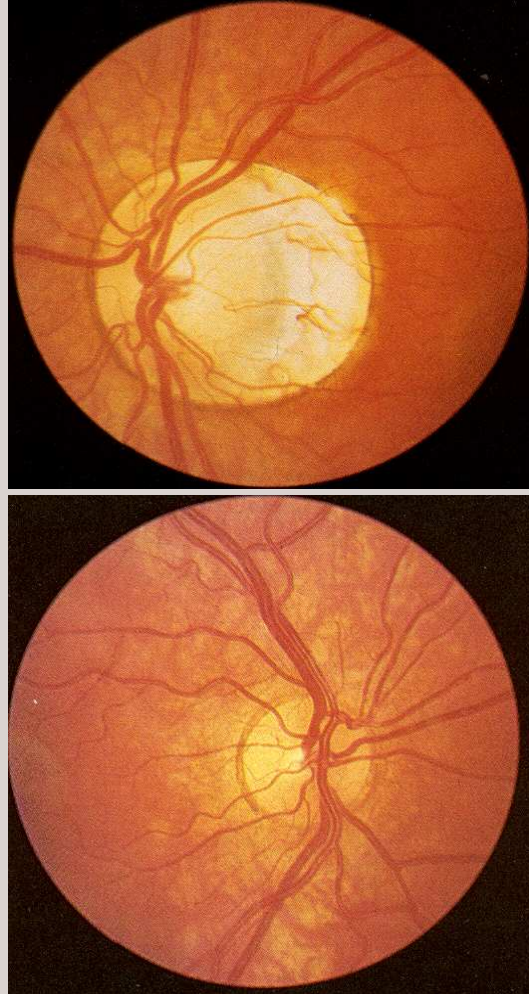
Obr. 3.10. Atrophia gyrata (oftalmoskopický nález u 7-letého chlapce)



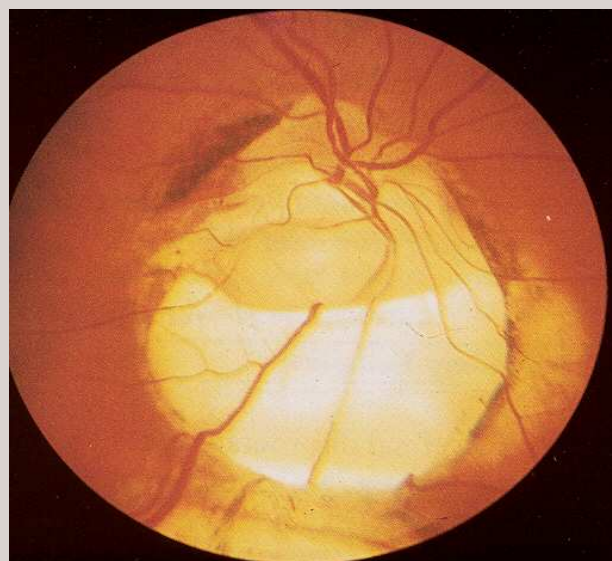
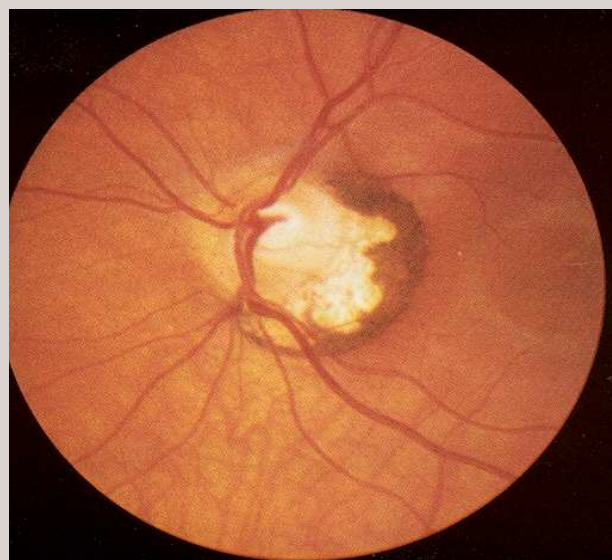
Obr. 3.11. Toxoplazmóza s oboustranným postižením makuly (oftalmoskopický nález u 5-leté dívky)



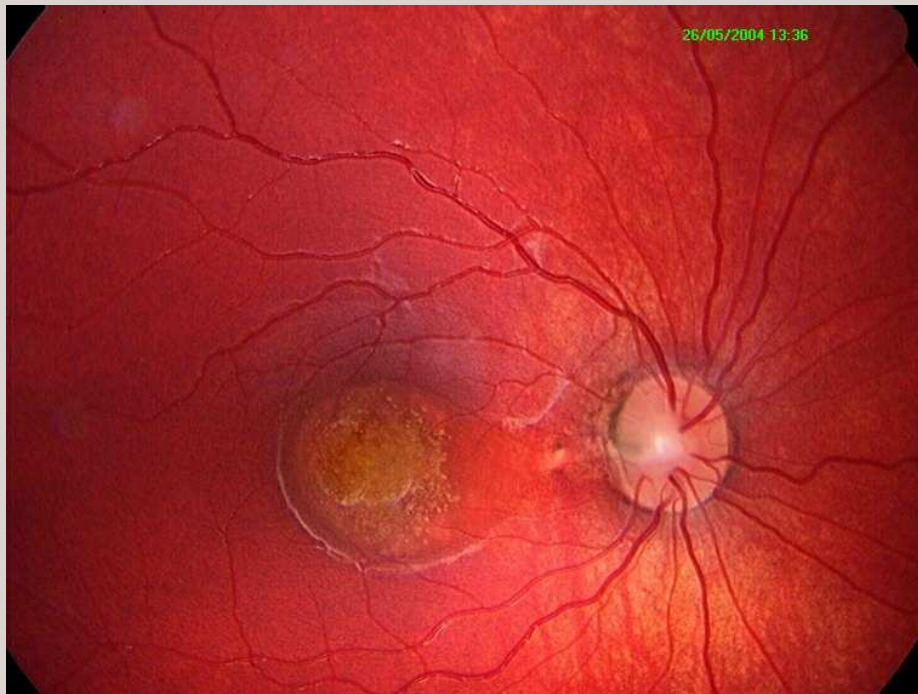
Obr. 3.12. Hypoplázie zrkového nervu



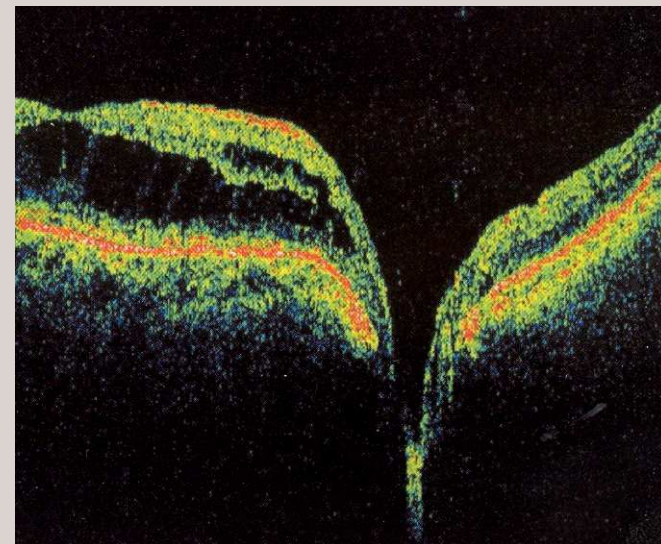
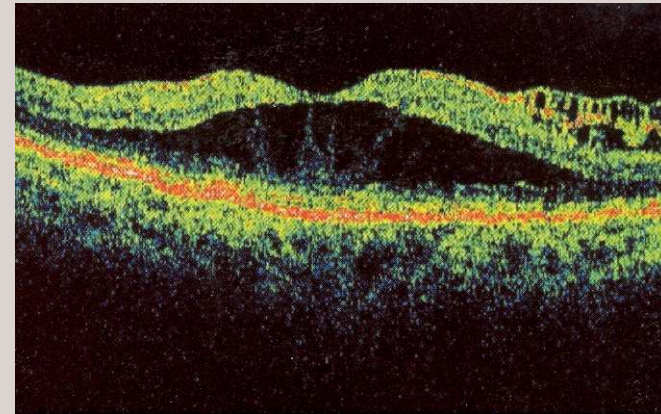
Obr. 3.13. Megalopapila ve srovnání s normální velikostí terče ZN



Obr. 3.14. Kolobomy terče zrakového nervu

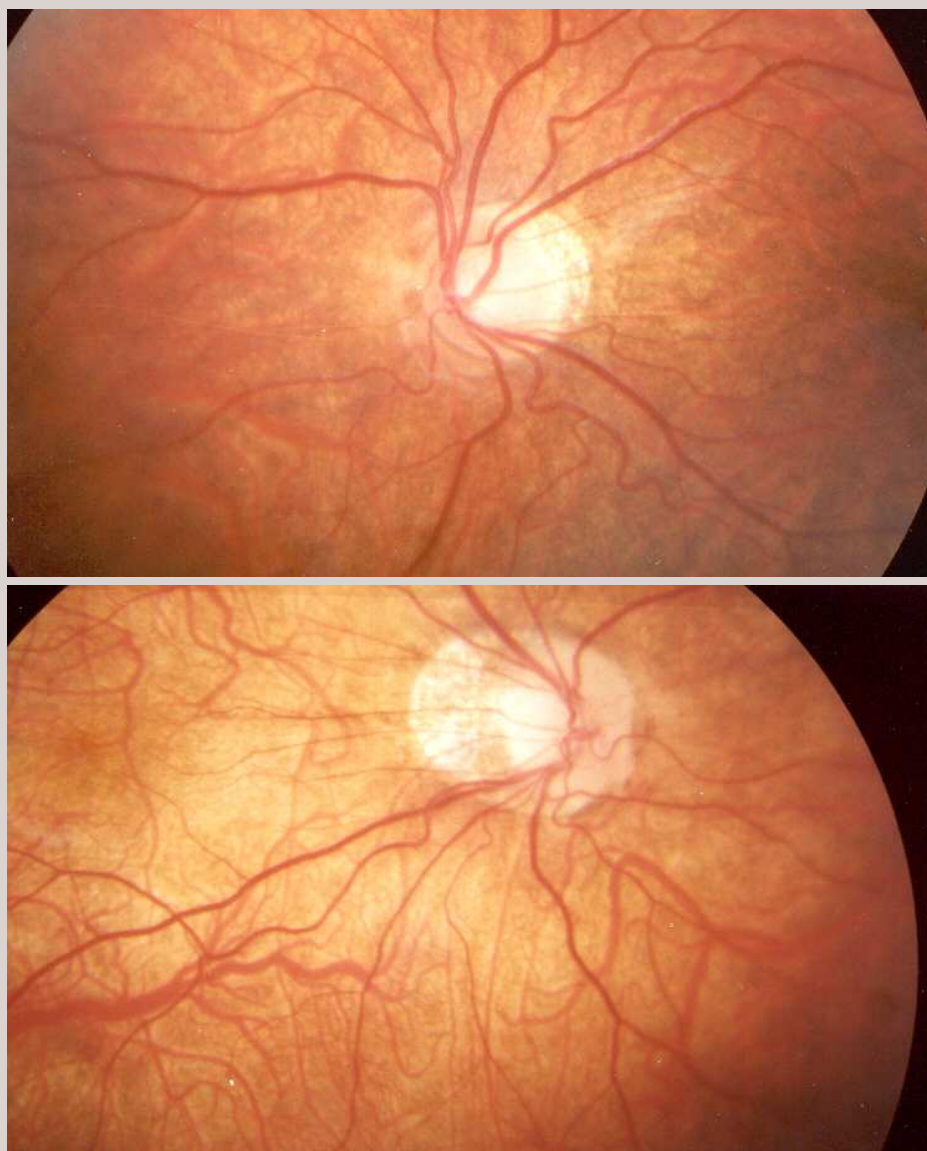


A)

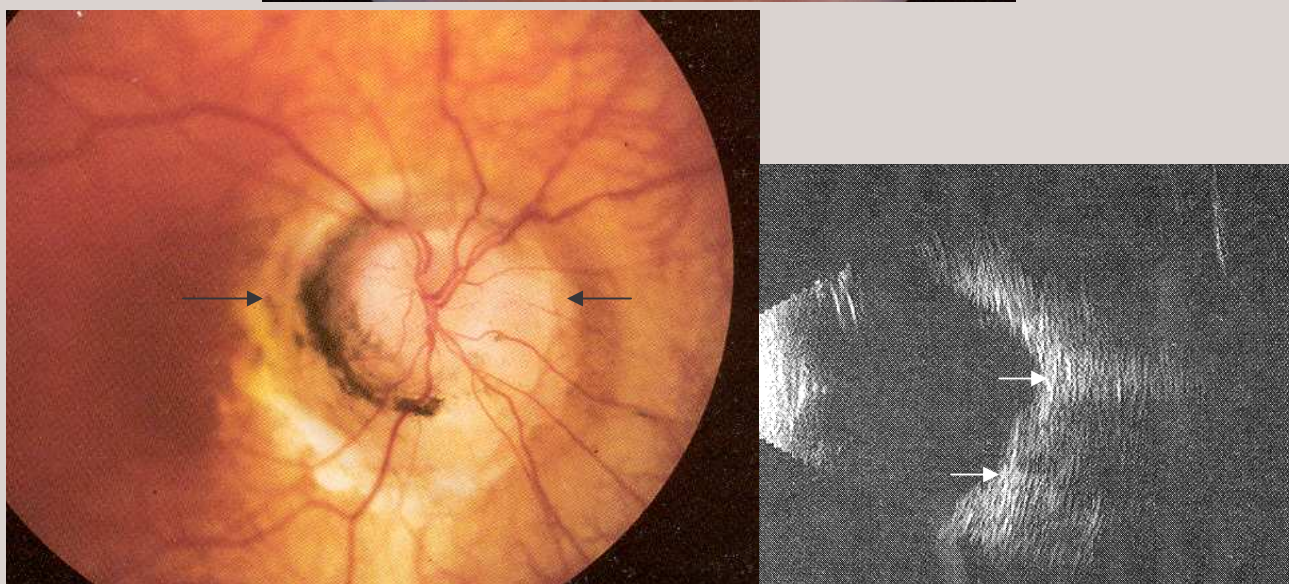
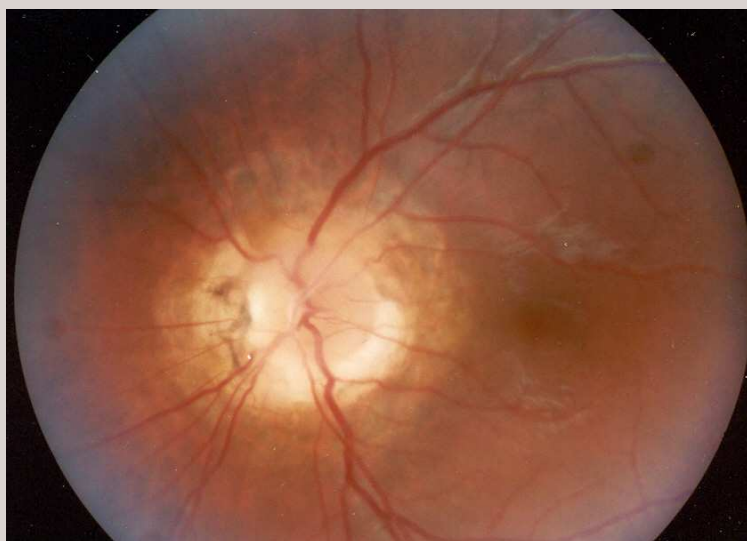


B)

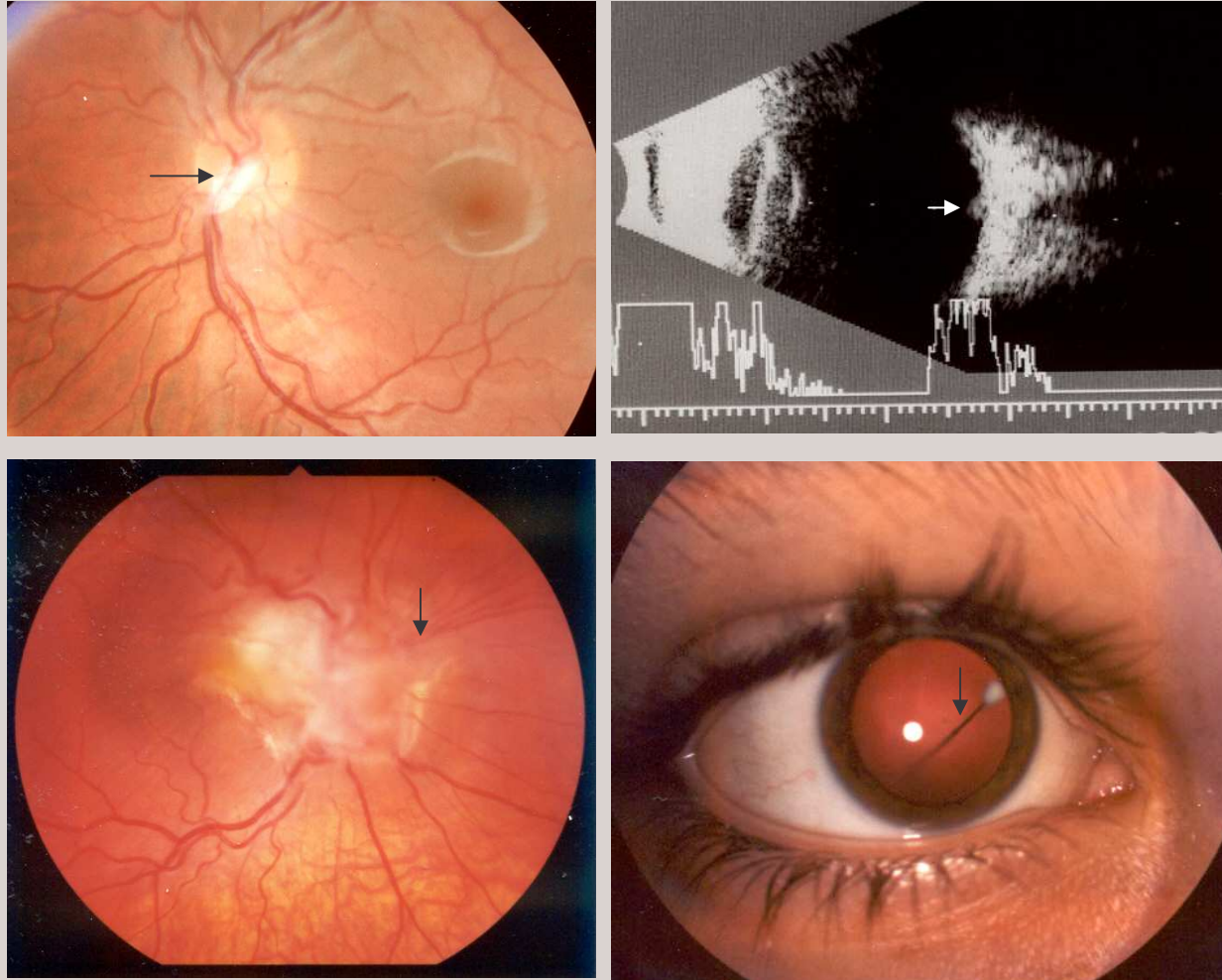
Obr. 3.15 Jamka na terči zrakového nervu komplikovaná cystoidní makulární degenerací již u 8-leté dívky (A) Obraz makulární komplikace při kolobomatózním defektu - jamky terče ZN při vyšetření optickou koherentní tomografií. (B)



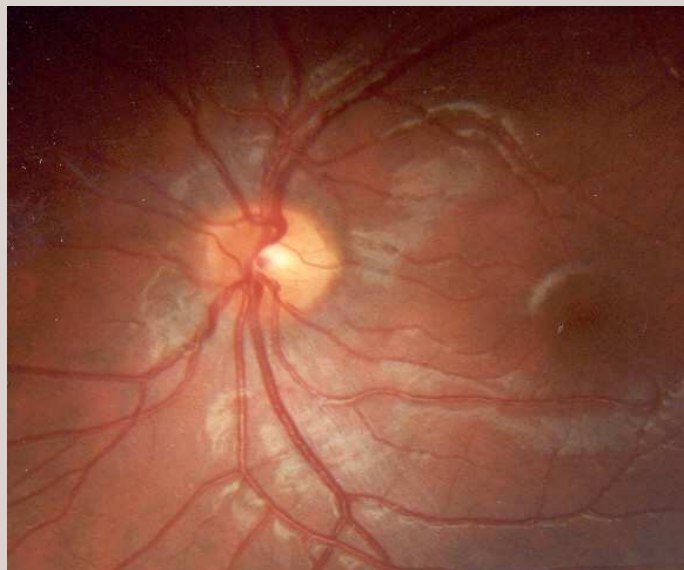
Obr. 3.16. Inverzní terč zrakového nervu



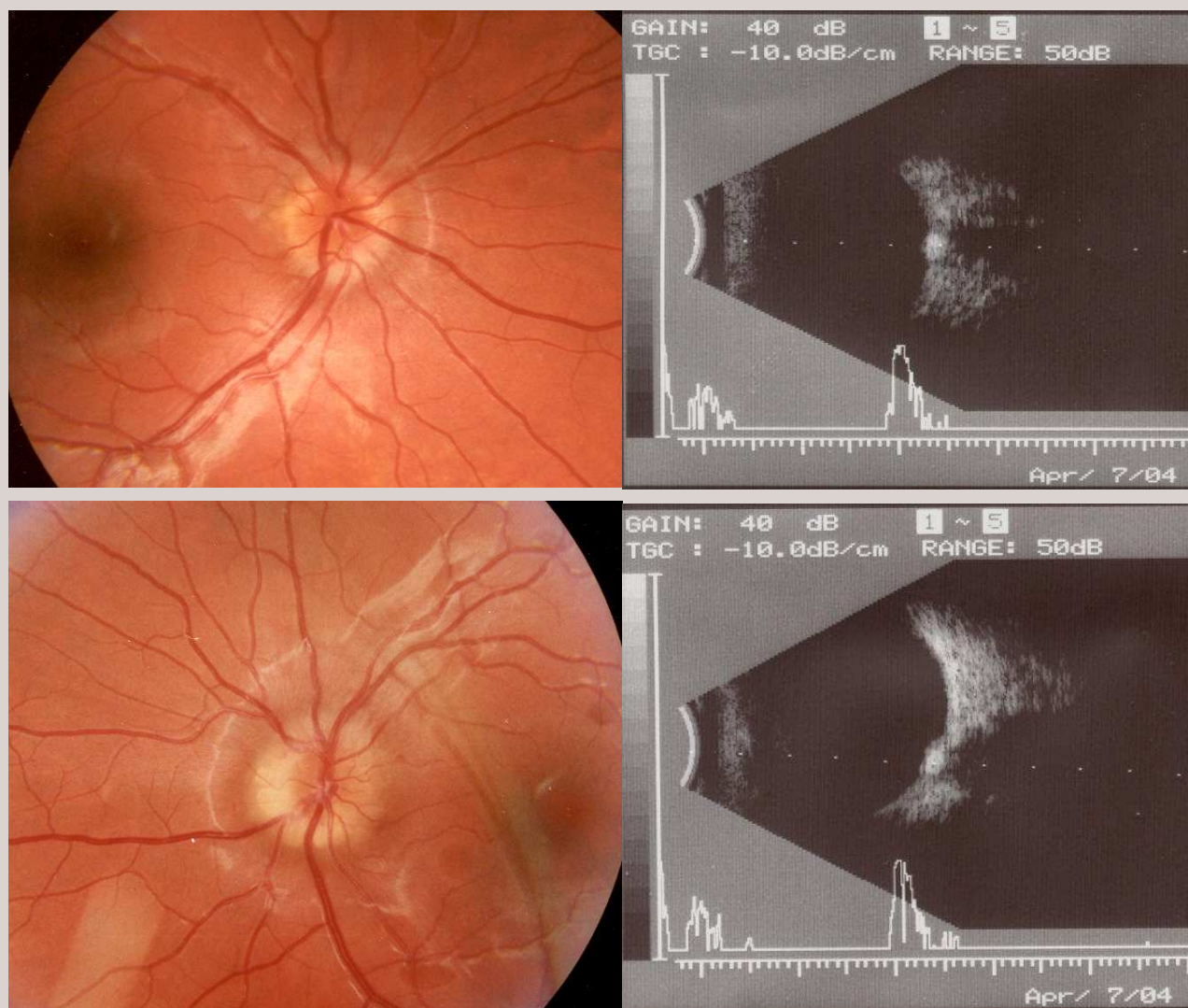
Obr. 3.17. Peripapilární stafylom



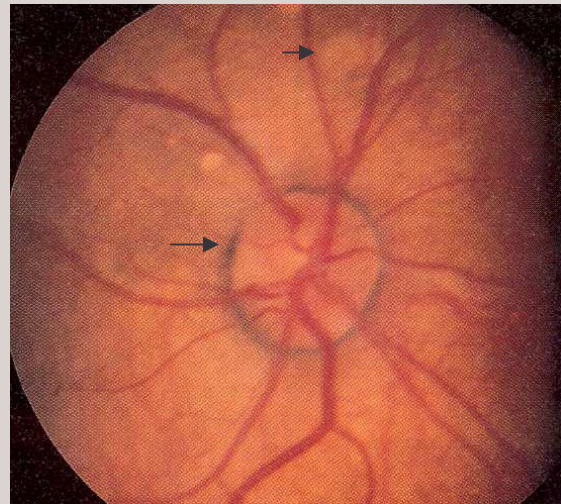
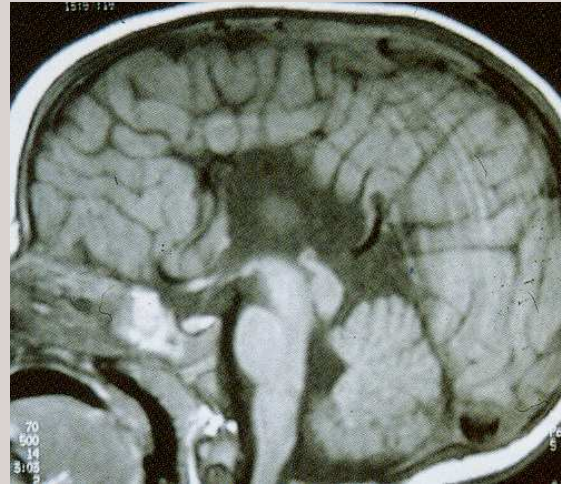
Obr. 3.18. Bergmeisterova papila a epipapilární membrána



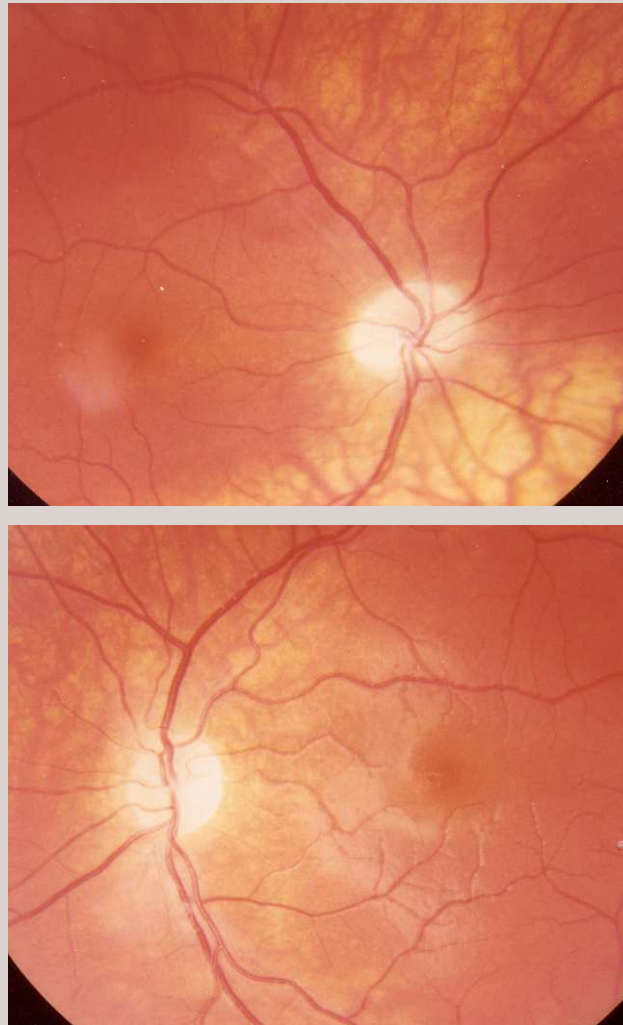
Obr. 3.19. Handmannova anomálie papily (morning-glory anomálie) ve srovnání s normálním nálezem na druhém oku téhož pacienta)



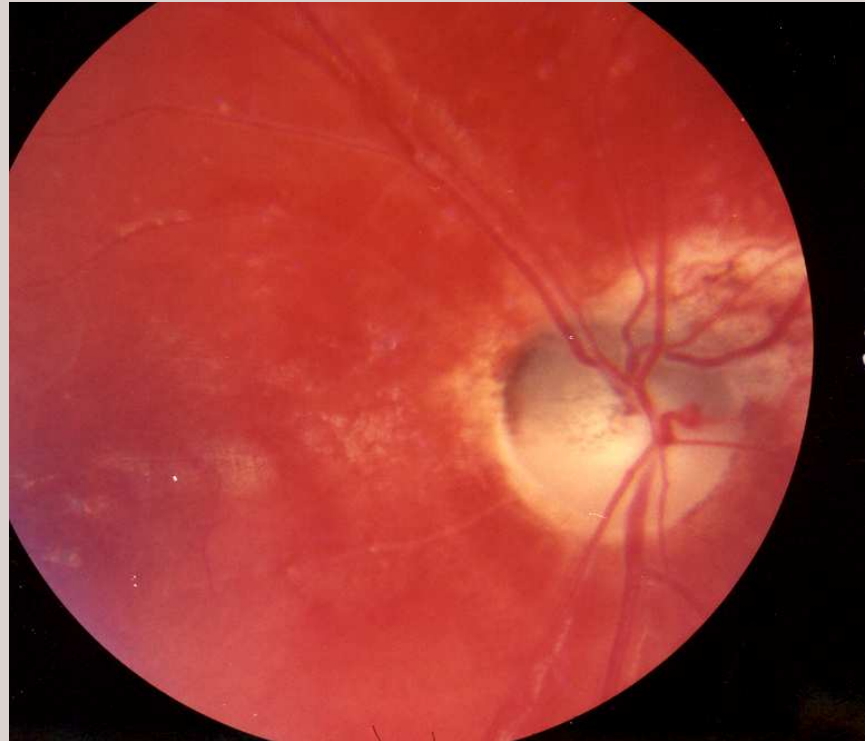
Obr. 3.20. Drúzy terče ZN -oftalmoskopický obraz a nález při ultrazvukovém vyšetření (10-letá dívka).



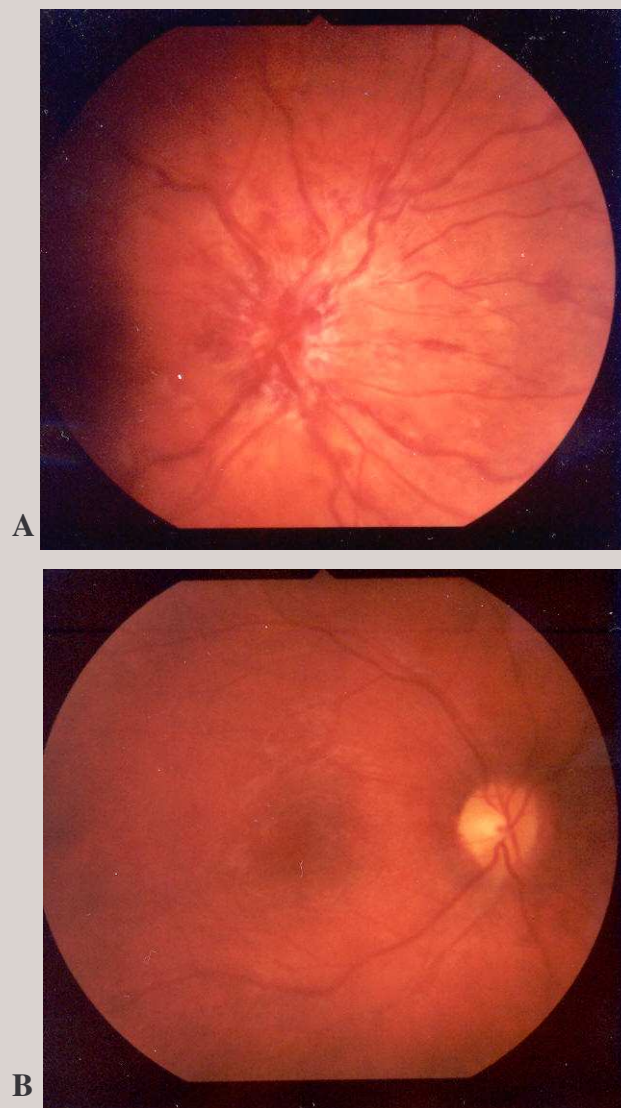
Obr. 3.21. Pigmentace terče (Aicardiho syndrom s agenezí corpus callosum)



Obr. 3.22. Atrofie optiku oboustranná (stav po resekci rozsáhlého kraniofaryngeomu u 8-letého chlapce)



Obr. 3.23. Atrofie optiku po resekci gliomu optiku u 11-leté dívky

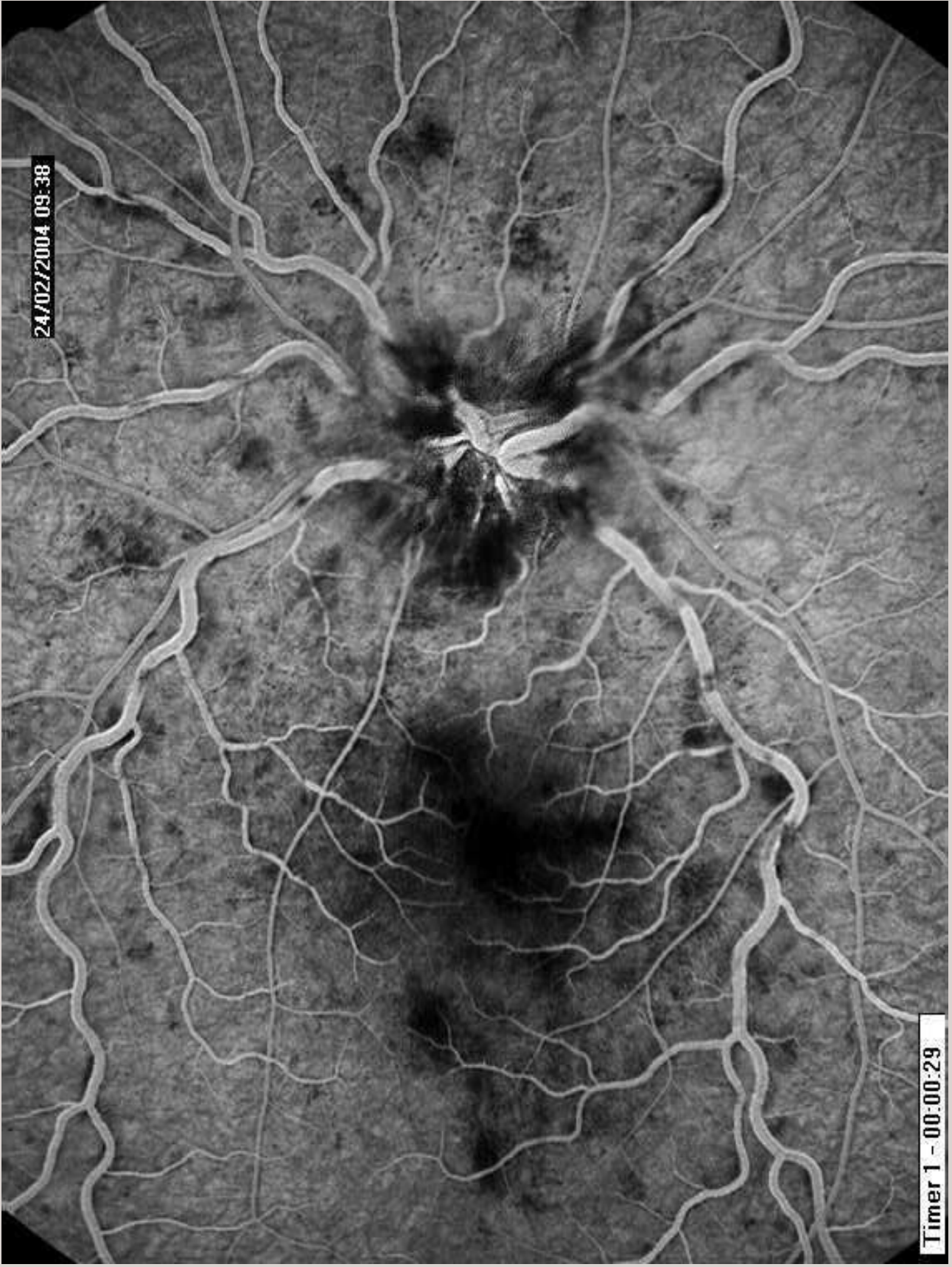


**Obr. 3.24. Neuritis intraocularis u 13-leté dívky,
A-stav před léčbou (visus 1m), B- nález 3 týdny po kortikoterapii (visus 6/6)**



Obr. 3.25. Oboustranný nález při neuromyelitis optica s optochiazmatickou arachnoiditidou a meningoencefalitidou u 11-leté dívky. Pacientka je v současnosti ve věku 18 roků těžce invalidní.





24/02/2004 09:38

Timer 1 - 00:00:29

